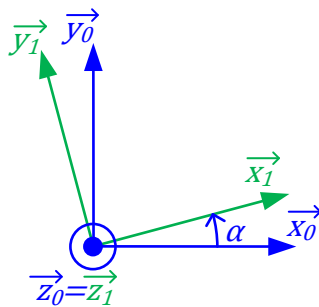


CHAPITRE 1

CINEMATIQUE ET STATIQUE DES CHAINES DE SOLIDES

1 **EXERCICE 1: VERIN HYDRAULIQUE**

1-



$$\overline{\Omega(1/0)} = \dot{\alpha} \cdot \vec{z}_0$$

Les bases 1 et 2 sont identiques puisque les pièces 1 et 2 sont en mouvement de translation. Ainsi, on déduit :

$$\overline{\Omega(2/1)} = \vec{0} \quad \text{et} \quad \overline{\Omega(2/0)} = \overline{\Omega(1/0)} = \dot{\alpha} \cdot \vec{z}_0$$

2- Par définition : $\overline{V(B \in 2/1)} = \left. \frac{d\vec{OB}}{dt} \right|_{\mathcal{R}_1}$

$$\Rightarrow \overline{V(B \in 2/1)} = \left. \frac{d(\lambda(t) + b) \cdot \vec{x}_1}{dt} \right|_{\mathcal{R}_1}$$

$$= \dot{\lambda}(t) \cdot \vec{x}_1 + (\lambda(t) + b) \cdot \left. \frac{d\vec{x}_1}{dt} \right|_{\mathcal{R}_1}$$

$$\Rightarrow \boxed{\overline{V(B \in 2/1)} = \dot{\lambda}(t) \cdot \vec{x}_1}$$

3- Par définition : $\overline{V(B \in 2/0)} = \left. \frac{d\vec{OB}}{dt} \right|_{\mathcal{R}_0}$

$$\begin{aligned} \Rightarrow \overline{V(B \in 2/0)} &= \left. \frac{d(\lambda(t) + b) \cdot \vec{x}_1}{dt} \right|_{\mathcal{R}_0} \\ &= \dot{\lambda}(t) \cdot \vec{x}_1 + (\lambda(t) + b) \cdot \left. \frac{d\vec{x}_1}{dt} \right|_{\mathcal{R}_0} \\ &= \dot{\lambda}(t) \cdot \vec{x}_1 + (\lambda(t) + b) \cdot \left[\left. \frac{d\vec{x}_1}{dt} \right|_{\mathcal{R}_1} + \overline{\Omega(1/0)} \wedge \vec{x}_1 \right] \\ &\Rightarrow \boxed{\overline{V(B \in 2/0)} = \dot{\lambda}(t) \cdot \vec{x}_1 + \dot{\alpha}(\lambda(t) + b) \cdot \vec{y}_1} \end{aligned}$$

4-

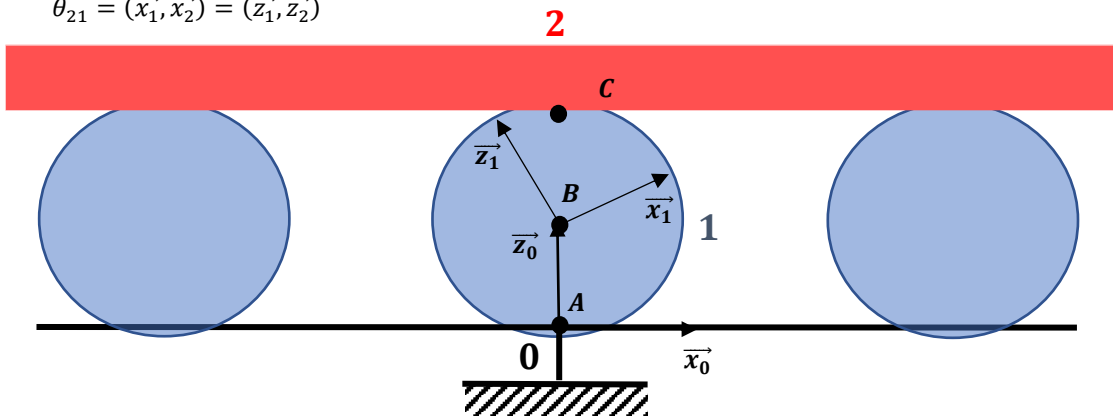
$$\{\mathcal{V}(2/0)\}_B = \left\{ \begin{array}{c} \overline{\Omega(2/0)} \\ \overline{V(B \in 2/0)} \end{array} \right\} \Rightarrow \boxed{\{\mathcal{V}(2/0)\}_B = \left\{ \begin{array}{c} \dot{\alpha} \cdot \vec{z}_0 \\ \dot{\lambda}(t) \cdot \vec{x}_1 + \dot{\alpha}(\lambda(t) + b) \cdot \vec{y}_1 \end{array} \right\}}$$

5- Par définition : $\overline{\Gamma(B \in 2/0)} = \left. \frac{d \overline{V(B \in 2/0)}}{dt} \right|_{\mathcal{R}_0}$

$$\begin{aligned} \Rightarrow \overline{\Gamma(B \in 2/0)} &= \left. \frac{d\dot{\lambda}(t) \cdot \vec{x}_1}{dt} \right|_{\mathcal{R}_0} + \left. \frac{d\dot{\alpha}(\lambda(t) + b) \cdot \vec{y}_1}{dt} \right|_{\mathcal{R}_0} \\ &= \ddot{\lambda}(t) \cdot \vec{x}_1 + \dot{\lambda}(t) \dot{\alpha} \cdot \vec{y}_1 + [\ddot{\alpha}(\lambda(t) + b) + \dot{\lambda}(t) \dot{\alpha}] \cdot \vec{y}_1 - \dot{\alpha}^2(\lambda(t) + b) \vec{x}_1 \end{aligned}$$

2 EXERCICE 2 : TRANSPORT DE MENHIR

$$\begin{aligned} \overline{AB} &= R\vec{z}_0 \\ \theta_{21} &= (\widehat{\vec{x}_1, \vec{x}_2}) = (\widehat{\vec{z}_1, \vec{z}_2}) \end{aligned}$$



1-

$$\begin{aligned} \vec{V}(A, 1/0) &= \vec{0} \\ \vec{V}(B, 1/0) &= \vec{V}(A, 1/0) + \overline{BA} \wedge \overline{\Omega_{10}} = -R\vec{z}_0 \wedge \Omega_{10} \vec{y}_0 = R\Omega_{10} \vec{x}_0 \end{aligned}$$

2-

$$\vec{V}(C, 1/0) = \vec{V}(A, 1/0) + \overline{CA} \wedge \overline{\Omega_{10}} = -2R\vec{z}_0 \wedge \Omega_{10} \vec{y}_0 = 2R\Omega_{10} \vec{x}_0$$

3-

$$\begin{aligned} \Omega_{10} &> 0 \\ \text{Vers la droite, sens } \vec{x}_0 \end{aligned}$$

4-

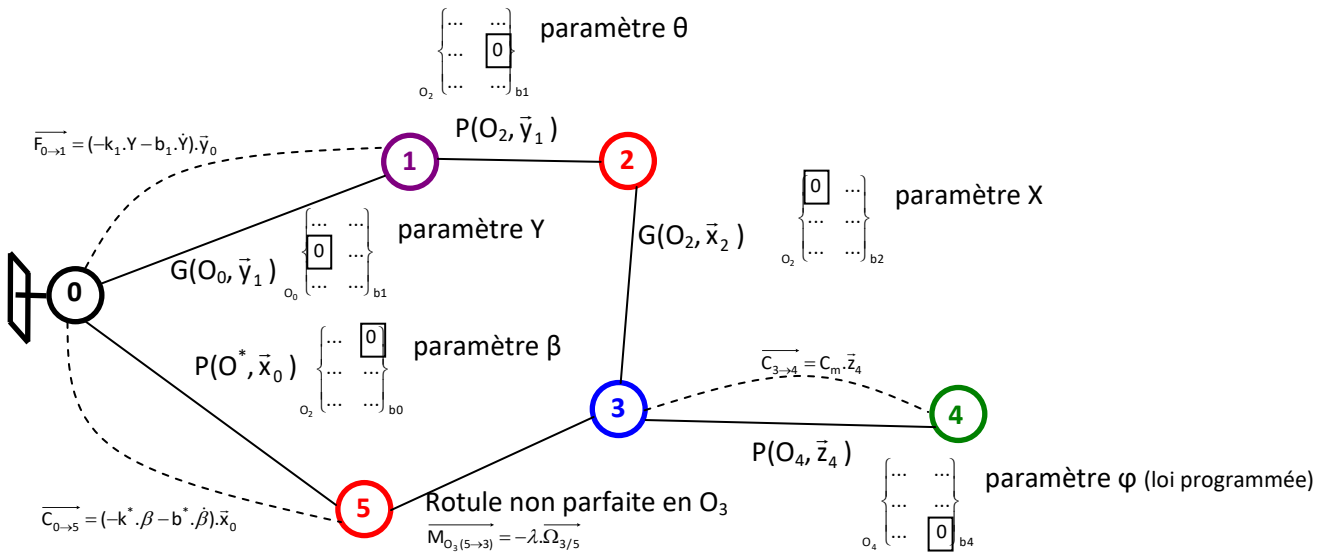
$$\begin{aligned} \vec{V}(C, 2/1) &= \vec{0} \\ \vec{V}(C, 2/0) + \vec{V}(C, 0/1) &= \vec{0} \\ \vec{V}(C, 2/0) &= \vec{V}(C, 1/0) \\ \vec{V}(C, 2/0) &= 2R\Omega_{10}\vec{x}_0 \end{aligned}$$

5-

$$\begin{aligned} \Omega_{10} &> 0 \\ V_M &= \|\vec{V}(C, 2/0)\| = 2R\Omega_{10} \\ V_R &= \|\vec{V}(B, 1/0)\| = R\Omega_{10} \\ \frac{V_R}{V_M} &= 1/2 \end{aligned}$$

3 EXERCICE 3 : VIBREUR D'OLIVIER

Q.1. Graphe d'analyse

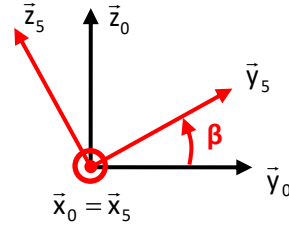
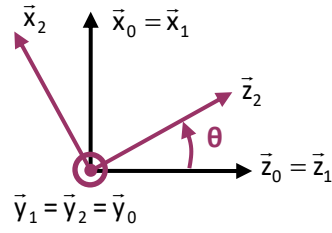


Q.2. Fermeture géométrique : $\vec{O_0O^*} + \vec{O^*O_5} = \vec{O_0O_5}$

$\rightarrow \vec{O_0O^*} + \vec{O^*O_5} = \vec{O_0O_1} + \vec{O_1O_2} + \vec{O_2G_3} + \vec{G_3O_5} \rightarrow d_0 \cdot \vec{x}_0 + L_5 \cdot \vec{z}_5 = Y \cdot \vec{y}_1 + L_1 \cdot \vec{x}_1 + X \cdot \vec{x}_2 + L_3 \cdot \vec{x}_2$

En projection dans la base 0 :

$$\begin{cases} d_0 = L_1 + (X + L_3) \cdot \cos \theta \\ -L_5 \cdot \sin \beta = Y \\ L_5 \cdot \cos \beta = -(X + L_3) \cdot \sin \theta \end{cases}$$



Q.3. Hypothèse θ et β petits \rightarrow
$$\begin{cases} d_0 = L_1 + (X + L_3) \\ -L_5 \cdot \beta = Y \\ L_5 = -(X + L_3) \cdot \theta \end{cases}$$

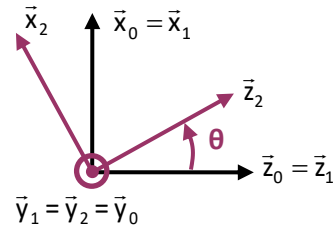
Soit $Y = -L_5 \cdot \beta$; $X = d_0 - L_1 - L_3 = \text{cte}$; $\theta = -\frac{L_5}{X + L_3} = \text{cte}$

Q.4. On a liaison 5/3 : liaison rotule non parfaite \rightarrow 3 composantes X_{53} , Y_{53} et Z_{53} + une loi de comportement :

$\vec{M}_{O_3(5 \rightarrow 3)} = -\lambda \cdot \vec{\Omega}_{3/5} = \lambda \cdot \vec{\Omega}_{5/3}$ avec $\vec{\Omega}_{5/3} = \vec{\Omega}_{5/0} - \vec{\Omega}_{0/3} = \dot{\beta} \cdot \vec{x}_0$

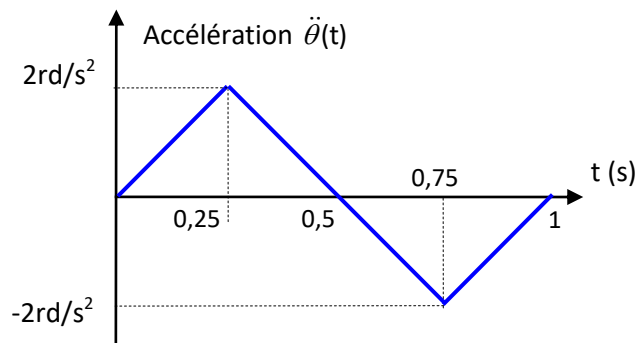
Soit $\vec{M}_{O_3(5 \rightarrow 3)} = \lambda \cdot \dot{\beta} \cdot \vec{x}_0 = \lambda \cdot (\sin \theta \cdot \vec{z}_2 + \cos \theta \cdot \vec{x}_2)$

$\rightarrow \{F_{5 \rightarrow 3}\}_{O_3} = \begin{cases} X_{53} & \lambda \cdot \dot{\beta} \cdot \cos \theta \\ Y_{53} & 0 \\ Z_{53} & \lambda \cdot \dot{\beta} \cdot \sin \theta \end{cases} \quad (b2)$

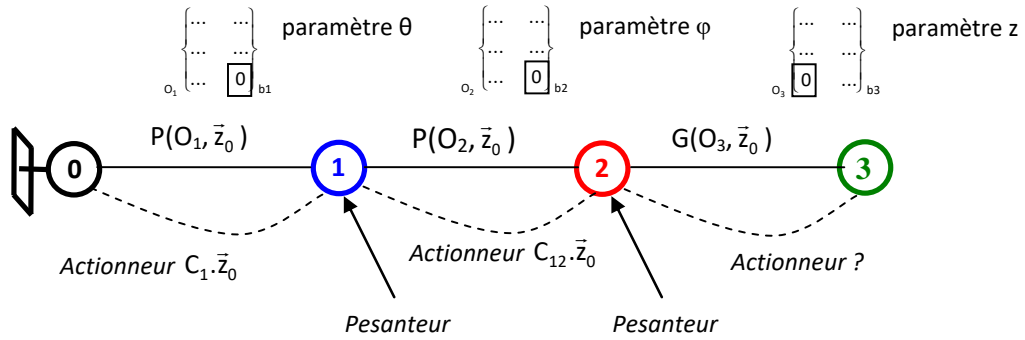


4 EXERCICE 4 : BRAS DE ROBOT A MUSCLES ARTIFICIELS

Q.1.



Q.2.



Q.3. $\vec{O_1O_3} = \vec{O_1O_2} + \vec{O_2O_3} \rightarrow \vec{O_1O_3} = L \cdot \vec{x}_1 + L \cdot \vec{x}_2 + z \cdot \vec{z}_0$

On projette les axes dans la base dans laquelle on exprime les coordonnées x_0, y_0 et z_0 :
 $\rightarrow \vec{O_1O_3} = L \cdot \vec{x}_1 + L \cdot \vec{x}_2 + z \cdot \vec{z}_0$ avec $\vec{x}_1 = \cos \theta \cdot \vec{x}_0 + \sin \theta \cdot \vec{y}_0$ et $\vec{x}_2 = \cos(\theta + \varphi) \cdot \vec{x}_0 + \sin(\theta + \varphi) \cdot \vec{y}_0$
 $\rightarrow \vec{O_1O_3} = (L \cdot \cos \theta + L \cdot \cos(\theta + \varphi)) \cdot \vec{x}_0 + (L \cdot \sin \theta + L \cdot \sin(\theta + \varphi)) \cdot \vec{y}_0 + z \cdot \vec{z}_0$

Ce qui permet d'écrire le modèle géométrique direct :
$$\begin{cases} x_0 = L \cdot \cos \theta + L \cdot \cos(\theta + \varphi) \\ y_0 = L \cdot \sin \theta + L \cdot \sin(\theta + \varphi) \\ z_0 = z \end{cases}$$

Q.4. Il faut inverser le modèle géométrique direct :
$$\begin{cases} x_0 = L \cdot \cos \theta + L \cdot \cos(\theta + \varphi) \\ y_0 = L \cdot \sin \theta + L \cdot \sin(\theta + \varphi) \\ z_0 = z \end{cases}$$

Une solution possible consiste à utiliser les transformations trigonométriques de sommes en produits (formules de Simpson : $\cos a + \cos b = 2 \cdot \cos \frac{a+b}{2} \cdot \cos \frac{a-b}{2}$ et $\sin a + \sin b = 2 \cdot \sin \frac{a+b}{2} \cdot \cos \frac{a-b}{2}$) qui permettent de transformer le modèle géométrique direct :

$$\begin{cases} x_0 = L \cdot \cos \theta + L \cdot \cos(\theta + \varphi) \\ y_0 = L \cdot \sin \theta + L \cdot \sin(\theta + \varphi) \end{cases} \rightarrow \begin{cases} x_0 = 2 \cdot L \cdot \cos \frac{2 \cdot \theta + \varphi}{2} \cdot \cos \frac{-\varphi}{2} \\ y_0 = 2 \cdot L \cdot \sin \frac{2 \cdot \theta + \varphi}{2} \cdot \cos \frac{-\varphi}{2} \end{cases}$$

En faisant $x_0^2 + y_0^2$ pour faire apparaître un terme en $\cos^2 A + \sin^2 B$, on obtient :

$$x_0^2 + y_0^2 = 4 \cdot L^2 \cdot \cos^2 \frac{-\varphi}{2} \cdot \left(\cos^2 \frac{2 \cdot \theta + \varphi}{2} + \sin^2 \frac{2 \cdot \theta + \varphi}{2} \right) = 4 \cdot L^2 \cdot \cos^2 \frac{-\varphi}{2} \rightarrow \cos \frac{-\varphi}{2} = \frac{\sqrt{x_0^2 + y_0^2}}{2 \cdot L}$$

En faisant $\frac{y_0}{x_0}$, on a : $\frac{y_0}{x_0} = \tan \frac{2 \cdot \theta + \varphi}{2} \rightarrow$ ce qui permet d'obtenir : $\theta = -\frac{\varphi}{2} + \arctan \frac{y_0}{x_0}$

Ce qui permet d'écrire le modèle géométrique indirect :
$$\begin{cases} \theta = -\frac{\varphi}{2} + \arctan \frac{y_0}{x_0} \\ \varphi = -2 \cdot \arccos \frac{\sqrt{x_0^2 + y_0^2}}{2 \cdot L} \\ z = z_0 \end{cases}$$

Q.5. Trajectoire rectiligne suivant l'axe (O_1, \vec{x}_0)

Le modèle géométrique indirect devient :

$$\begin{cases} \theta = -\frac{\varphi}{2} \\ \varphi = -2 \cdot \arccos \frac{x_0}{2.L} \\ z = z_0 \end{cases}$$

Sur le schéma on voit bien que $\cos \theta = \frac{x_0}{2.L}$ et que

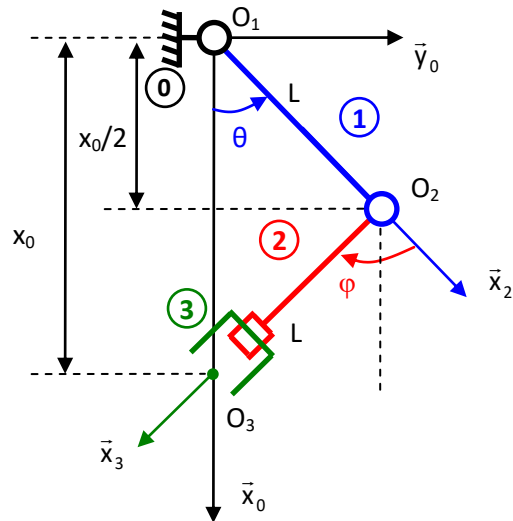
$$\theta = -\frac{\varphi}{2}$$

Course des moteurs : $L < O_1O_3 < 1,5.L \rightarrow L < x_0 < 1,5.L$

Pour $x_0 = L \rightarrow \varphi = -2 \cdot \arccos \frac{1}{2} = -\frac{2 \cdot \pi}{3} \rightarrow \theta = -\frac{\varphi}{2} = \frac{\pi}{3}$

Pour $x_0 = 1,5.L \rightarrow \varphi = -2 \cdot \arccos \frac{3}{4} \approx -82^\circ \rightarrow \theta = -\frac{\varphi}{2} \approx 41^\circ$

Ce qui est conforme aux débattements admissibles du C.d.C.F. pour cette phase de vie : $0 < \theta \leq \frac{\pi}{2}$ et $-\frac{2 \cdot \pi}{3} < \varphi \leq \frac{\pi}{2}$.

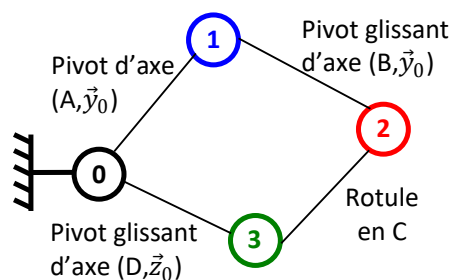


Q.6.
$$\begin{cases} \theta = -\frac{\varphi}{2} \\ \cos \frac{\varphi}{2} = \cos \frac{x_0}{2.L} \\ z = z_0 \end{cases} \rightarrow \begin{cases} \dot{\theta} = -\frac{\dot{\varphi}}{2} \\ \frac{\dot{\varphi}}{2} \sin \frac{\varphi}{2} = \frac{\dot{x}_0}{2.L} \\ \dot{z} = \dot{z}_0 \end{cases}$$

Q.7. Pour $t = 0,75 \text{ s}$ on a $\dot{x}_0 = 0,25 \text{ m.s}^{-1}$, $x_0 = 0,729 \text{ m}$, $\dot{\theta} = -0,365 \text{ rd.s}^{-1}$ et $\theta = 0,754 \text{ rd}$.

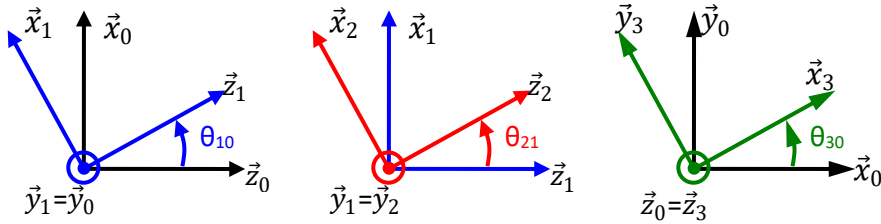
$\frac{\dot{\varphi}}{2} \sin \frac{\varphi}{2} = \frac{\dot{x}_0}{2.L} \rightarrow -\dot{\theta} \cdot \sin \theta = \frac{\dot{x}_0}{2.L}$ A.N. : $0,365 \cdot \sin 0,754 = 0,25$ et $\frac{\dot{x}_0}{2.L} = \frac{0,25}{2 \times 0,5} = 0,25 \rightarrow$ l'égalité est bien respectée.

5 EXERCICE 4: BROYEUR A MORTIER



Graphe de liaison du système :

Q.1. Figures géométrales :



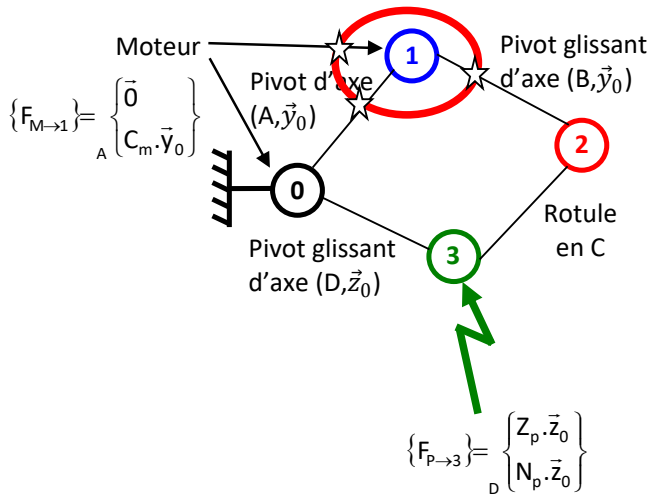
Q.2. Liaison 0-1 : Pivot d'axe (A, \vec{y}_0) $\rightarrow \{F_{0 \rightarrow 1}\} = \begin{Bmatrix} X_{01} & L_{01} \\ Y_{01} & 0 \\ Z_{01} & N_{01} \end{Bmatrix}_{B_0}$

Liaison 2-1 : Pivot glissant d'axe (B, \vec{y}_0) $\rightarrow \{F_{2 \rightarrow 1}\} = \begin{Bmatrix} X_{21} & L_{21} \\ 0 & 0 \\ Z_{21} & N_{21} \end{Bmatrix}_{B_0}$

Liaison 3-2 : Rotule en C $\rightarrow \{F_{3 \rightarrow 2}\} = \begin{Bmatrix} X_{32} & 0 \\ Y_{32} & 0 \\ Z_{32} & 0 \end{Bmatrix}_{B_0}$

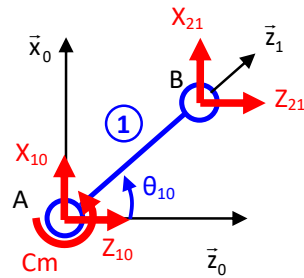
Liaison 0-3 : Pivot glissant d'axe (D, \vec{z}_0) $\rightarrow \{F_{0 \rightarrow 3}\} = \begin{Bmatrix} X_{03} & L_{03} \\ Y_{03} & M_{03} \\ 0 & 0 \end{Bmatrix}_{B_0}$

Q.3. On isole le solide 1 + BAME :



On applique le PFS sur le solide 1 :

\rightarrow Théorème du moment statique au point A et en projection sur l'axe \vec{y}_0 :



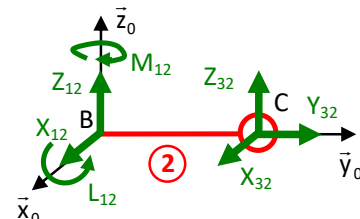
$$(\vec{AB} \wedge \vec{R}_{2 \rightarrow 1}) \cdot \vec{y}_0 + C_m = 0$$

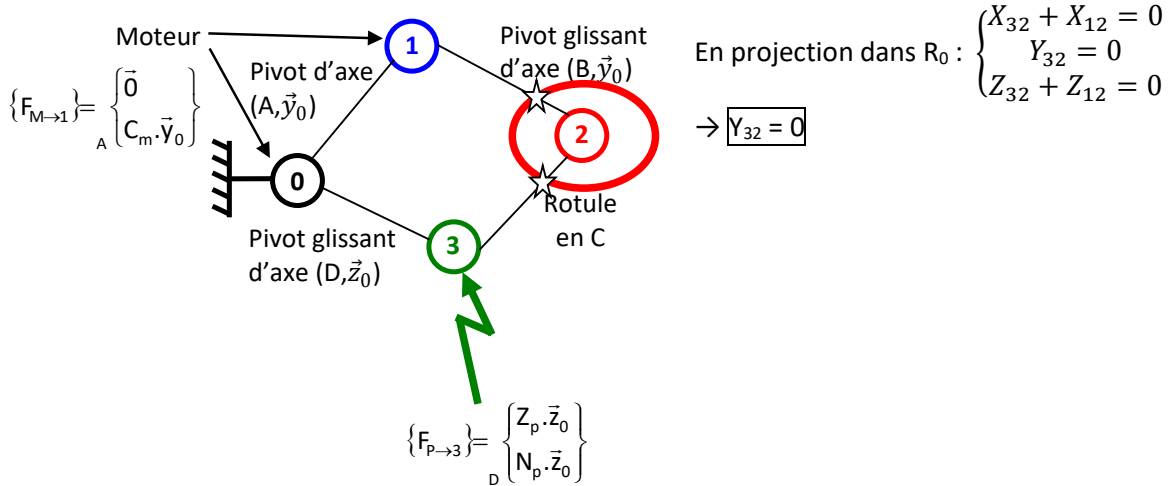
$$(R \cdot \vec{z}_1 \wedge (X_{21} \cdot \vec{x}_0 + Z_{21} \cdot \vec{z}_0)) \cdot \vec{y}_0 + C_m = 0$$

$$R \cdot X_{21} \cdot \cos \theta_{10} - R \cdot Z_{21} \cdot \sin \theta_{10} + C_m = 0$$

Q.4. On isole le solide 2 + BAME :

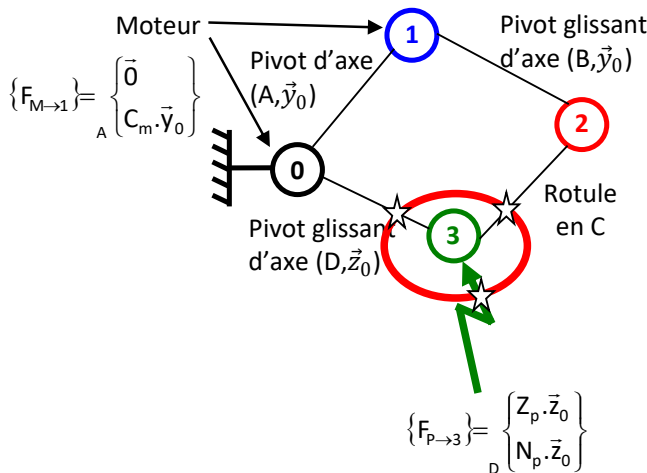
\rightarrow Théorème de la résultante statique :



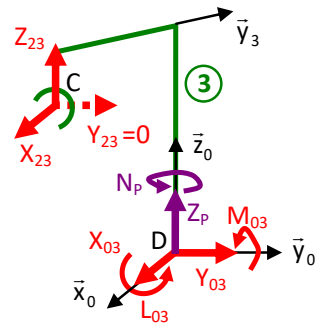


Attention le système est soumis à 2 actions mécaniques mais l'action mécanique du solide 2 sur le solide 2 n'est pas un glisseur !

Q.5. On isole le solide 3 + BAME :



On applique le PFS sur le solide 3 :



→ Théorème de la résultante statique :

$$X_{03} \cdot \vec{x}_0 + Y_{03} \cdot \vec{y}_0 + Z_p \cdot \vec{z}_0 + X_{23} \cdot \vec{x}_0 + Z_{23} \cdot \vec{z}_0 = \vec{0}$$

→ Théorème du moment statique au point D :

$$\vec{DC} \wedge \vec{R}_{2 \rightarrow 3} + L_{03} \cdot \vec{x}_0 + M_{03} \cdot \vec{y}_0 + N_p \cdot \vec{z}_0 = \vec{0}$$

→ Théorème de la résultante statique en projection dans R_0 :

$$\begin{cases} X_{03} + X_{23} = 0 \\ Y_{03} = 0 \\ Z_p + Z_{23} = 0 \end{cases}$$

→ Théorème du moment statique au point D :

$$\begin{aligned} \vec{DC} \wedge \vec{R}_{2 \rightarrow 3} &= (-L \cdot \vec{y}_3 + h(t) \cdot \vec{z}_0) \wedge (X_{23} \cdot \vec{x}_0 + Z_{23} \cdot \vec{z}_0) \\ &= -L \cdot \vec{y}_3 \wedge X_{23} \cdot \vec{x}_0 - L(t) \cdot \vec{y}_3 \wedge Z_{23} \cdot \vec{z}_0 + h(t) \cdot \vec{z}_0 \wedge X_{23} \cdot \vec{x}_0 \\ &= L \cdot X_{23} \cdot \cos \theta_{30} \cdot \vec{z}_0 - L \cdot Z_{23} \cdot \vec{x}_3 + h(t) \cdot X_{23} \cdot \vec{y}_0 \end{aligned}$$

En projection dans R_0 :

$$\begin{cases} L_{03} - L \cdot Z_{23} \cdot \cos \theta_{30} = 0 \\ M_{03} - L \cdot Z_{23} \cdot \sin \theta_{30} + h(t) \cdot X_{23} = 0 \\ N_p + L \cdot X_{23} \cdot \cos \theta_{30} = 0 \end{cases}$$

$$Z_p + Z_{23} = 0 \quad L_{30} - L \cdot Z_{23} \cdot \cos \theta_{30} = 0 \quad N_p + L \cdot X_{23} \cdot \cos \theta_{30} = 0$$

Q.6. De la question 9, on a : $R \cdot X_{21} \cdot \cos \theta_{10} - R \cdot Z_{21} \cdot \sin \theta_{10} + C_m = 0$.

De la question 10, on a : $\begin{cases} X_{32} = -X_{12} = X_{21} \\ Z_{32} = -Z_{12} = Z_{21} \end{cases}$

De la question 11 on a : $-Z_P = Z_{23} \rightarrow Z_P = Z_{32}$ et $X_{23} = -\frac{N_P}{L \cdot \cos \theta_{30}} \rightarrow X_{32} = \frac{N_P}{L \cdot \cos \theta_{30}}$

$$R \cdot \frac{N_P}{L \cdot \cos \theta_{30}} \cdot \cos \theta_{10} - R \cdot Z_P \cdot \sin \theta_{10} + C_m = 0 \rightarrow C_m = -R \cdot \frac{N_P}{L \cdot \cos \theta_{30}} \cdot \cos \theta_{10} + R \cdot Z_P \cdot \sin \theta_{10}$$

Q.7. En considérant que le couple de broyage nul, on a : $C_m = R \cdot Z_P \cdot \sin \theta_{10} \rightarrow Z_{P, \min i} = \frac{C_m}{R}$


A.N. : $Z \frac{0,16}{3 \cdot 10^{-2} P_{\max}}$ $N > 5 \text{ N} \rightarrow$ Le critère effort minimal du cahier des charges est respecté.

6 EXERCICE 6 : RESTAURANT SOUS-MARIN

on considère la pression constante sur toute la hauteur p
 le tenseur représentatif des M de pression sur la structure est de
 la forme :

$$\begin{Bmatrix} \sigma_p \\ \tau_p \\ 0 \end{Bmatrix} = \begin{Bmatrix} R_{\text{pression}} \\ \vec{T}_0(\text{pression}) \\ 0 \end{Bmatrix}$$

avec $R_{\text{pression}} = \int_S p dS \vec{e}_r$
 et $\vec{T}_0(\text{pression}) = \int_S \vec{OP} \wedge p dS \vec{e}_r = \vec{0}$
 calcul de $\int_S p dS \vec{e}_r$ $dS = R d\theta dl$
 $\vec{e}_r = \cos \theta \vec{e}_x + \sin \theta \vec{e}_z$

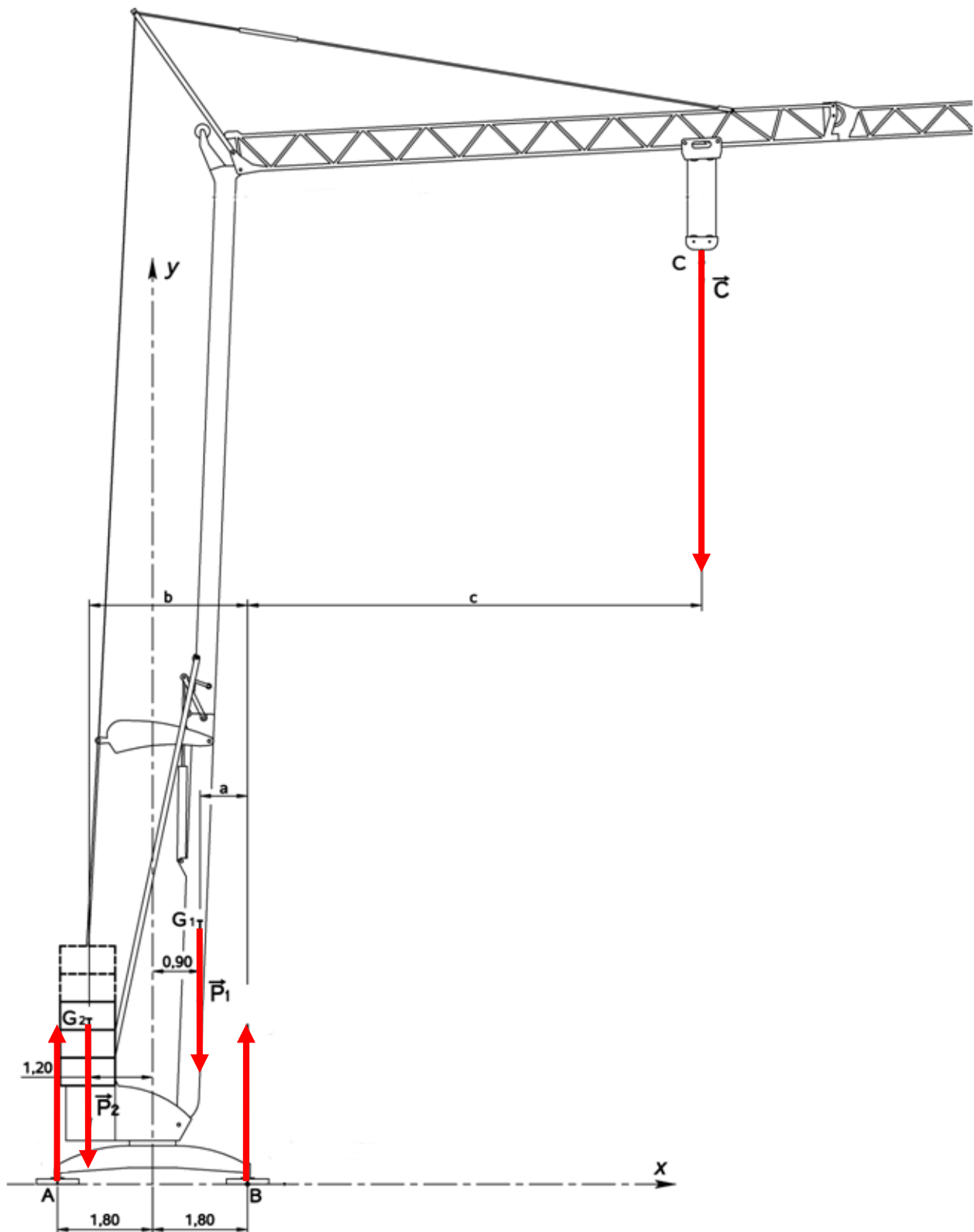


d'où en intégrant au 0 et $\pi \rightarrow$
 $R_{\text{pression}} = 2RLp \vec{e}_z$

$$\begin{Bmatrix} \sigma_p \\ \tau_p \\ 0 \end{Bmatrix} = \begin{Bmatrix} R_p = -2RLp \vec{e}_z \\ \vec{0} \\ 0 \end{Bmatrix}$$

7 EXERCICE 7 : GRUE A MONTAGE AUTOMATISE

- On isole la grue
- Bilan des actions mécaniques



- On applique le PFS

Equation des résultantes suivant y :

$$Y_A + Y_B - P_1 - P_2 - C = 0$$

Equation des moments calculée en B suivant z :

$$-3,6.Y_A + a.P_1 + b.P_2 - c.C = 0$$

Résolution :

$$Y_A = \frac{a.P_1 + b.P_2 - c.C}{3,6}$$

$$Y_B = P_1 + P_2 + C - Y_A = P_1 + P_2 + C - \frac{a.P_1 + b.P_2 - c.C}{3,6}$$

2- A la limite du basculement, $Y_A=0$ d'ou :

$$Y_A = \frac{a.P_1 + b.P_2 - c.C}{3,6} = 0$$

Et finalement :

$$C = \frac{a.P_1 + b.P_2}{c}$$

3- Calculer la charge maximale soulevée à une distance $c=10,4\text{m}$, lorsque la grue est chargée à l'aide de 8 blocs de béton additionnels. Comparer avec les informations données par le constructeur, commenter.

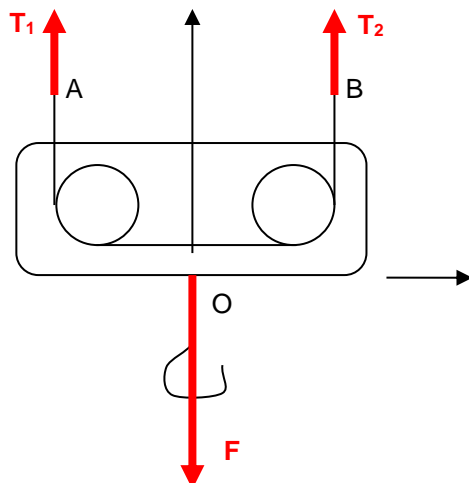
$$C = \frac{0,9.93200 + 3.8.900.10}{10,4} = 28800\text{N}$$

Ce qui correspond à une masse de 2880kg , le document constructeur nous indique, que la grue équipée de 8 blocs de béton additionnels peut soulever 1800kg , en effet le constructeur a prévu une marge de sécurité afin d'éviter tout problème liés aux conditions d'utilisation (vent, etc...)

Etude Fonction levage / maintenir la charge

4-

- On isole {masse à soulever, crochet, moufle, une partie du câble}
- Bilan des actions mécaniques



Hypothèse :

La force F s'applique à égale distance de T_1 et T_2

$$OA = OB$$

- On applique le PFS

Equation des résultantes suivant y :

$$T_1 + T_2 - F = 0$$

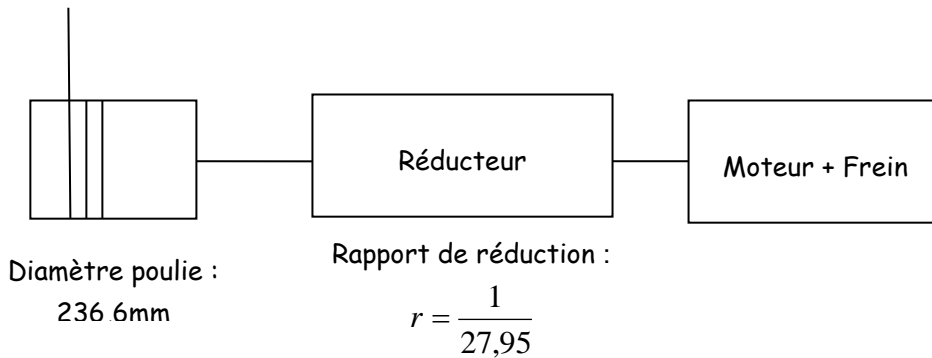
Equation des moments calculée en O suivant z :

$$OB.T_2 - OA.T_1 = 0$$

Avec $OA=OB$, on arrive à :

$$T_1 = T_2 = \frac{F}{2}$$

$$T_1 = T_2 = \frac{1800.10}{2} = 9000N$$



5-Le frein est situé sur l'axe du moteur donc :

$$C_{frein} = r.T. \frac{D_{poulie}}{2} = \frac{1}{27,95} . 9000 . \frac{0,2366}{2} = 38N.m$$

6- Par définition :

$$p = \frac{N}{S} = \frac{N}{\pi.(R_e^2 - R_i^2)}$$

7-Le couple de freinage est porté par l'axe z (direction normale à la surface)

$$C = \left| \left(\int_S \overrightarrow{OP} \wedge \vec{f}(P).dS \right) \vec{u}_\theta . \vec{z} \right|$$

$$C = \left| \left(\int_S \overrightarrow{OP} \wedge \left(-p.\vec{z} - p.f.\vec{u}_\theta \right) dS \right) . \vec{z} \right|$$

$$C = \left| \left(\int_S r.\vec{u}_r \wedge \left(-p.\vec{z} - p.f.\vec{u}_\theta \right) r.dr.d\theta \right) . \vec{z} \right|$$

$$C = p.f \int_{R_i}^{R_e} . r^2 . dr . \int_0^{2\pi} d\theta$$

$$C = 2.\pi.p.f. \frac{R_e^3 - R_i^3}{3}$$

$$C = 2.\pi. \frac{N}{\pi.(R_e^2 - R_i^2)} . f. \frac{R_e^3 - R_i^3}{3}$$

$$C = f \cdot N \cdot \frac{2 \cdot (R_e^3 - R_i^3)}{3 \cdot (R_e^2 - R_i^2)}$$

d'ou

$$R_{eq} = \frac{2 \cdot (R_e^3 - R_i^3)}{3 \cdot (R_e^2 - R_i^2)}$$

8- Il y a deux disques sur lesquels pris en « sandwich » par deux garnitures, il y'a donc un total de 4 surfaces frottantes d'où : $C_{frein} = 4 \cdot C$

$$C_{frein} = 4 \cdot f \cdot N \cdot \frac{2 \cdot (R_e^3 - R_i^3)}{3 \cdot (R_e^2 - R_i^2)}$$

9-

$$C_{frein} = 4 \cdot f \cdot N \cdot \frac{2 \cdot (R_e^3 - R_i^3)}{3 \cdot (R_e^2 - R_i^2)} \quad \text{donne} \quad N = C_{frein} \cdot \frac{3 \cdot (R_e^2 - R_i^2)}{8 \cdot f \cdot (R_e^3 - R_i^3)}$$

$$N = 38 \cdot \frac{3 \cdot (0,115^2 - 0,08^2)}{8,0,25 \cdot (0,115^3 - 0,08^3)} = 386N$$

Il y'a trois ressorts hélicoïdaux montées en parallèles, qui permettent de fournir l'effort presseur N, d'ou :

$$N = 3 \cdot F_{ressort} \quad \text{et finalement} \quad F_{ressort} = \frac{1}{3} \cdot 38 \cdot \frac{3 \cdot (0,115^2 - 0,08^2)}{8,0,25 \cdot (0,115^3 - 0,08^3)} = 128,5N$$

8 EXERCICE 8 : CONVOYAGE SUR TAPIS ROULANT

1 - Isolément de ①

$$\left\{ \begin{array}{l} \mathcal{E}_{0 \rightarrow 1} = \left\{ \begin{array}{l} X_0 \vec{x} + Y_0 \vec{y} \\ M_0 \vec{z} \end{array} \right\}$$

$$\left\{ \mathcal{E}_{2 \rightarrow 1} \right\} = \left\{ \begin{array}{l} -X_B \vec{x} - Y_B \vec{y} \\ \vec{0} \end{array} \right\}$$

$$\left\{ \mathcal{E}_{pesanteur \rightarrow 1} \right\} = \left\{ \begin{array}{l} -mg \sin \alpha \vec{x} - mg \cos \alpha \vec{y} \\ \vec{0} \end{array} \right\}$$

PFS $\Rightarrow \sum \vec{F} \cdot \vec{x} = X_0 - X_B - mg \sin \alpha = 0$ (a)

$$\sum \vec{F} \cdot \vec{y} = Y_0 - Y_B - mg \cos \alpha = 0$$
 (b)
$$\sum \vec{M}_0 \cdot \vec{z} = M_0 - l Y_B + r X_B + mg \sin \alpha \cdot \frac{l}{2} - mg \cos \alpha \cdot \frac{l}{2} = 0$$
 (c)

Isolément de ②

$$\left\{ \mathcal{E}_{0 \rightarrow 2} \right\} = \left\{ \begin{array}{l} X_A \vec{x} - Y_A \vec{y} \\ \vec{0} \end{array} \right\}$$

$$\left\{ \mathcal{E}_{1 \rightarrow 2} \right\} = \left\{ \begin{array}{l} +X_B \vec{x} + Y_B \vec{y} \\ \vec{0} \end{array} \right\}$$

$$\left\{ \mathcal{E}_{pesanteur \rightarrow 2} \right\} = \left\{ \begin{array}{l} -Mg \sin \alpha \vec{x} - Mg \cos \alpha \vec{y} \\ \vec{0} \end{array} \right\}$$

PFS $\Rightarrow \sum \vec{F} \cdot \vec{x} = X_A + X_B - Mg \sin \alpha = 0$ (d)

$$\sum \vec{F} \cdot \vec{y} = Y_A + Y_B - Mg \cos \alpha = 0$$
 (e)
$$\sum \vec{M}_c \cdot \vec{z} = -2 Y_B + 2 X_A = 0$$
 (f)

$$2 - \begin{cases} X_B = f Y_B & (g) \\ Y_B = f X_B & (h) \end{cases}$$

$$3 - \left. \begin{aligned} (f) \text{ et } (d) &\Rightarrow + Y_B + X_B = M g \sin d & (i) \\ & & (h) \end{aligned} \right\} X_B (1+f) = M g \sin d$$

$$\text{d'où } X_B = \frac{M g \sin d}{1+f}$$

$$(a) \text{ et } (g) \Rightarrow f Y_B - X_B - m g \sin d = 0 \Rightarrow Y_B = \frac{1}{f} \left[\frac{M g \sin d}{1+f} + m g \sin d \right]$$

$$(b) \text{ et } (h) \Rightarrow Y_B - f X_B - m g \cos d = 0 \Rightarrow Y_B = f \frac{M g \sin d}{1+f} + m g \cos d$$

$$\text{d'où } \frac{M g \sin d}{1+f} + m g \sin d = f^2 \frac{M g \sin d}{1+f} + f m g \cos d$$

$$\sin d \left(m + \frac{M}{1+f} - f^2 \frac{M}{1+f} \right) = f m \cos d$$

$$\operatorname{tg} d = \frac{f}{1 + \frac{M(1-f^2)}{m(1+f)}}$$

$$\operatorname{tg} d = \frac{f}{1 + \frac{M}{m}(1-f)}$$

Relation établie à la limite du glissement, donc pour d maximum

$$\text{A.N.: } \operatorname{tg} d = \frac{0,2}{1 + \frac{12}{4}(1-0,2)} \Rightarrow d = 3,4^\circ$$

4 -

$$X_B = \frac{M g \sin d}{1+f} = \frac{12 \cdot 10 \sin d}{1+0,2} = 5,87 \text{ N}$$

$$Y_B = f X_B = 0,2 \cdot 5,87 = 1,17 \text{ N}$$

$$X_A = Y_B = 1,17 \text{ N}$$

$$Y_A = -Y_B + M g \cos d = -1,17 + 12 \cdot 10 \cos d = 118,62 \text{ N}$$

$$X_O = X_B + m g \sin d = 5,87 + 4 \cdot 10 \sin d = 8,22 \text{ N}$$

$$Y_O = Y_B + m g \cos d = 1,17 + 4 \cdot 10 \cos d = 41,1 \text{ N}$$

$$M_O = 100 \times 1,17 - 100 \cdot 5,87 - 4 \cdot 10 \sin d \frac{150}{2} + 4 \cdot 10 \cos d \cdot \frac{100}{2} = 1350 \text{ mm N} = 1,35 \text{ m N}$$

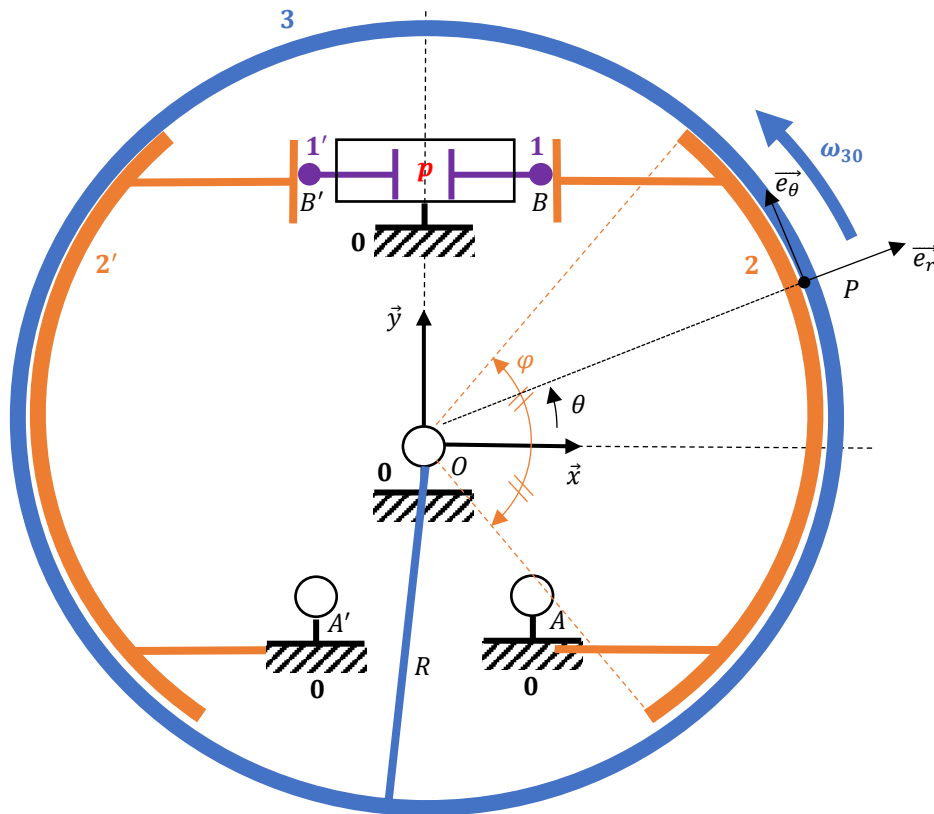
5 - Condition de non basculement de ① sur ② :

$$M_O > 0 \quad \left(\vec{M}_O = +1,35 \frac{\vec{z}}{3} \right)$$

Condition de roulement sans glissement de ② sur ③

$$\varphi' < \varphi \quad \text{avec } \operatorname{tg} \varphi' = \frac{X_A}{Y_A} \Rightarrow X_A < f Y_A$$

9 **EXERCICE 9 : FREIN A TAMBOUR**



Question 1: Déterminer l'effort presseur \vec{F} au contact ponctuel en B entre 1 et 2 en fonction de r et p en partant du principe que l'effort issu de la pression sur le piston se transmet intégralement à ce contact

On peut dire que :

$$\vec{F} = pS\vec{x} = p\pi r^2\vec{x}$$

Question 2: En déduire le torseur $\{T_{12}\}$ de l'action de 1 sur 2 en B

$$\{T_{12}\} = \begin{Bmatrix} p\pi r^2\vec{x} \\ \vec{0} \end{Bmatrix}_B = \begin{pmatrix} p\pi r^2 & 0 \\ 0 & 0 \\ 0 & 0 \end{pmatrix}_B^{\mathfrak{S}}$$

Question 3: Donner le torseur $\{T_{02}\}$ de l'action de liaison en A de 0 sur 2

$$\{T_{02}\} = \begin{Bmatrix} X_{02} & L_{02} \\ Y_{02} & M_{02} \\ Z_{02} & 0 \end{Bmatrix}_B^{\mathfrak{S}}$$

Question 4: Exprimer l'élément de surface dS du problème traité

$$dS = R d\theta dz$$

Question 5: Donner l'expression de l'élément de force \overrightarrow{dR}_{32} au contact entre 2 et 3 en P

$$\begin{aligned} \overrightarrow{dR}_{32} &= -p' dS \overrightarrow{e}_r + fp' dS \overrightarrow{e}_\theta \\ \overrightarrow{e}_r &= \cos \theta \overrightarrow{x} + \sin \theta \overrightarrow{y} \\ \overrightarrow{e}_\theta &= -\sin \theta \overrightarrow{x} + \cos \theta \overrightarrow{y} \\ \overrightarrow{dR}_{32} &= -p'(\cos \theta \overrightarrow{x} + \sin \theta \overrightarrow{y})dS + fp'(-\sin \theta \overrightarrow{x} + \cos \theta \overrightarrow{y})dS \\ \overrightarrow{dR}_{32} &= -p' \cos \theta \overrightarrow{x}dS - p' \sin \theta \overrightarrow{y}dS - fp' \sin \theta \overrightarrow{x}dS + fp' \cos \theta \overrightarrow{y}dS \\ \overrightarrow{dR}_{32} &= p'(-\overrightarrow{x} + f\overrightarrow{y}) \cos \theta dS - p'(\overrightarrow{y} + f\overrightarrow{x}) \sin \theta dS \\ \overrightarrow{dR}_{32} &= Rp'(-\overrightarrow{x} + f\overrightarrow{y}) \cos \theta d\theta dz - Rp'(\overrightarrow{y} + f\overrightarrow{x}) \sin \theta d\theta dz \end{aligned}$$

Question 6: Déterminer la résultante \overrightarrow{R}_{32} de l'action de 3 sur 2

$$\begin{aligned} \overrightarrow{R}_{32} &= \int_S \overrightarrow{dR}_{32} = \int_{-\frac{\varphi}{2}}^{\frac{\varphi}{2}} \int_{-\frac{e}{2}}^{\frac{e}{2}} Rp'(-\overrightarrow{x} + f\overrightarrow{y}) \cos \theta d\theta dz - \int_{-\frac{\varphi}{2}}^{\frac{\varphi}{2}} \int_{-\frac{e}{2}}^{\frac{e}{2}} Rp'(\overrightarrow{y} + f\overrightarrow{x}) \sin \theta d\theta dz \\ \overrightarrow{R}_{32} &= Rp'(-\overrightarrow{x} + f\overrightarrow{y}) \int_{-\frac{\varphi}{2}}^{\frac{\varphi}{2}} \cos \theta d\theta \int_{-\frac{e}{2}}^{\frac{e}{2}} dz - Rp'(\overrightarrow{y} + f\overrightarrow{x}) \int_{-\frac{\varphi}{2}}^{\frac{\varphi}{2}} \sin \theta d\theta \int_{-\frac{e}{2}}^{\frac{e}{2}} dz \\ \overrightarrow{R}_{32} &= Rp'(-\overrightarrow{x} + f\overrightarrow{y})[\sin \theta]_{-\frac{\varphi}{2}}^{\frac{\varphi}{2}} e - Rp'(\overrightarrow{y} + f\overrightarrow{x})[-\cos \theta]_{-\frac{\varphi}{2}}^{\frac{\varphi}{2}} e \\ \overrightarrow{R}_{32} &= Rp'(-\overrightarrow{x} + f\overrightarrow{y})2 \sin \frac{\varphi}{2} e = Rp'2 \sin \frac{\varphi}{2} e \begin{bmatrix} -1 \\ f \\ 0 \end{bmatrix}^{\text{B}} \end{aligned}$$

Question 7: Donner l'expression de l'élément de moment en O $\overrightarrow{dM}_{32}^O$ au contact entre 2 et 3 en P

$$\begin{aligned} \overrightarrow{dR}_{32} &= -p' dS \overrightarrow{e}_r + fp' dS \overrightarrow{e}_\theta \\ \overrightarrow{dM}_{32}^O &= \overrightarrow{OP} \wedge \overrightarrow{dR}_{32} = (R\overrightarrow{e}_r + z\overrightarrow{z}) \wedge (-p' dS \overrightarrow{e}_r + fp' dS \overrightarrow{e}_\theta) \\ \overrightarrow{dM}_{32}^O &= R\overrightarrow{e}_r \wedge (-p' dS \overrightarrow{e}_r + fp' dS \overrightarrow{e}_\theta) + z\overrightarrow{z} \wedge (-p' dS \overrightarrow{e}_r + fp' dS \overrightarrow{e}_\theta) \\ \overrightarrow{dM}_{32}^O &= R\overrightarrow{e}_r \wedge fp' dS \overrightarrow{e}_\theta + z\overrightarrow{z} \wedge -p' dS \overrightarrow{e}_r + z\overrightarrow{z} \wedge fp' dS \overrightarrow{e}_\theta \\ \overrightarrow{dM}_{32}^O &= Rfp' dS \overrightarrow{z} - zp' dS \overrightarrow{e}_\theta - zfp' dS \overrightarrow{e}_r \\ \overrightarrow{e}_r &= \cos \theta \overrightarrow{x} + \sin \theta \overrightarrow{y} \\ \overrightarrow{e}_\theta &= -\sin \theta \overrightarrow{x} + \cos \theta \overrightarrow{y} \\ \overrightarrow{dM}_{32}^O &= Rfp' dS \overrightarrow{z} - zp' dS(-\sin \theta \overrightarrow{x} + \cos \theta \overrightarrow{y}) - zfp' dS(\cos \theta \overrightarrow{x} + \sin \theta \overrightarrow{y}) \\ \overrightarrow{dM}_{32}^O &= Rfp' dS \overrightarrow{z} + zp' dS \sin \theta \overrightarrow{x} - zp' dS \cos \theta \overrightarrow{y} - zfp' dS \cos \theta \overrightarrow{x} - zfp' dS \sin \theta \overrightarrow{y} \\ \overrightarrow{dM}_{32}^O &= Rfp' dS \overrightarrow{z} + (zp' dS \sin \theta \overrightarrow{x} - zfp' dS \sin \theta \overrightarrow{y}) - (zp' dS \cos \theta \overrightarrow{y} + zfp' dS \cos \theta \overrightarrow{x}) \\ \overrightarrow{dM}_{32}^O &= Rfp' dS \overrightarrow{z} + zp' dS(\overrightarrow{x} - f\overrightarrow{y}) \sin \theta - zp' dS(\overrightarrow{y} + f\overrightarrow{x}) \cos \theta \\ \overrightarrow{dM}_{32}^O &= R^2 fp' d\theta dz \overrightarrow{z} + Rzp'(\overrightarrow{x} - f\overrightarrow{y}) \sin \theta d\theta dz - Rzp'(\overrightarrow{y} + f\overrightarrow{x}) \cos \theta d\theta dz \end{aligned}$$

Question 8: Déterminer le moment en O $\overrightarrow{M}_{32}^O$ de l'action de 3 sur 2

$$\overrightarrow{M}_{32}^O = \int_S \overrightarrow{dM}_{32}^O$$

$$\begin{aligned} \vec{M}_{32}^O &= \int_{-\frac{\varphi}{2}}^{\frac{\varphi}{2}} \int_{-\frac{e}{2}}^{\frac{e}{2}} R^2 f p' d\theta dz \vec{z} + \int_{-\frac{\varphi}{2}}^{\frac{\varphi}{2}} \int_{-\frac{e}{2}}^{\frac{e}{2}} R z p' (\vec{x} - f \vec{y}) \sin \theta d\theta dz - \int_{-\frac{\varphi}{2}}^{\frac{\varphi}{2}} \int_{-\frac{e}{2}}^{\frac{e}{2}} R z p' (\vec{y} + f \vec{x}) \cos \theta d\theta dz \\ \vec{M}_{32}^O &= R^2 f p' \int_{-\frac{\varphi}{2}}^{\frac{\varphi}{2}} d\theta \int_{-\frac{e}{2}}^{\frac{e}{2}} dz \vec{z} + R p' (\vec{x} - f \vec{y}) \int_{-\frac{\varphi}{2}}^{\frac{\varphi}{2}} \sin \theta d\theta \int_{-\frac{e}{2}}^{\frac{e}{2}} z dz - R p' (\vec{y} + f \vec{x}) \int_{-\frac{\varphi}{2}}^{\frac{\varphi}{2}} \cos \theta d\theta \int_{-\frac{e}{2}}^{\frac{e}{2}} z dz \\ \vec{M}_{32}^O &= R^2 f p' \varphi e \vec{z} + R p' (\vec{x} - f \vec{y}) [-\cos \theta]_{-\frac{\varphi}{2}}^{\frac{\varphi}{2}} \left[\frac{z^2}{2} \right]_{-\frac{e}{2}}^{\frac{e}{2}} - R p' (\vec{y} + f \vec{x}) [\sin \theta]_{-\frac{\varphi}{2}}^{\frac{\varphi}{2}} \left[\frac{z^2}{2} \right]_{-\frac{e}{2}}^{\frac{e}{2}} \\ \vec{M}_{32}^O &= R^2 f p' \varphi e \vec{z} \end{aligned}$$

Question 9: Donner finalement le torseur $\{T_{32}\}$ de l'action au contact entre 2 et 3 en O

$$\{T_{32}\} = \left\{ \begin{array}{c} \vec{R}_{32} \\ \vec{M}_{32}^O \end{array} \right\}_O = \left\{ \begin{array}{c} R p' (-\vec{x} + f \vec{y}) 2 \sin \frac{\varphi}{2} e \\ R^2 f p' \varphi e \vec{z} \end{array} \right\}_B = \left\{ \begin{array}{cc} -2 p' e \sin \frac{\varphi}{2} & 0 \\ 2 p' e f \sin \frac{\varphi}{2} & 0 \\ 0 & R^2 f p' \varphi e \end{array} \right\}_B$$

Question 10: Que vaut le couple de freinage C_f du frein à tambour composé de deux segments

$$C_f = 2 R^2 f p' \varphi e$$

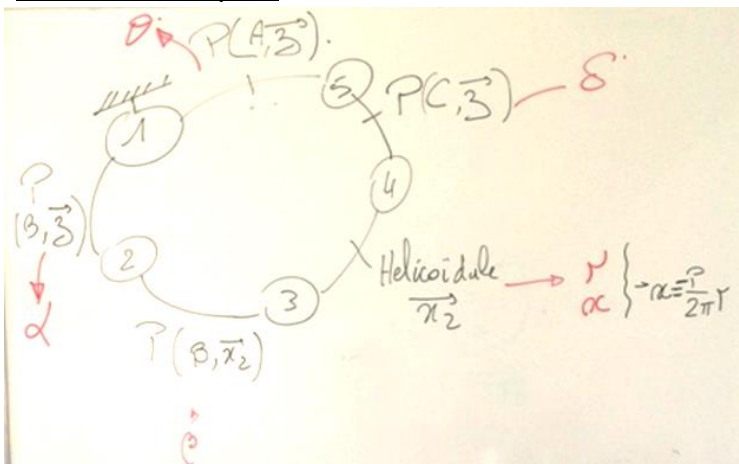
Question 11: Sur quels paramètres peut-on jouer pour augmenter le couple de freinage d'un frein à tambour

On peut :

- Augmenter le rayon au contact, évolution en carré
- Augmenter le coefficient de frottement
- Augmenter la pression au contact p' qui sera reliée à p par un PFS
- Augmenter l'angle de la zone de contact
- Augmenter l'épaisseur de la zone de contact

10 EXERCICE 10 : LE BRAS MAXPID ELEMENTS DE CORRECTION

Partie Cinématique :



Fermeture Angulaire: $\vec{O}_{1/2} + \vec{O}_{2/3} + \vec{O}_{3/4} + \vec{O}_{4/5} + \vec{O}_{5/1} = \vec{0}$

$$\alpha \vec{x}_2 + \beta \vec{x}_2 + \gamma \vec{x}_2 + \delta \vec{x}_2 + \vartheta \vec{x}_2 = \vec{0}$$

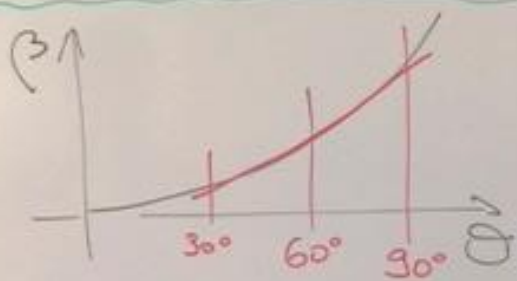
$\rightarrow / \vec{x}_2: \begin{cases} \gamma + \delta = 0 \\ \alpha + \delta - \vartheta = 0 \end{cases}$

Fermeture Géométrique: $\vec{OA} + \vec{AC} + \vec{CB} + \vec{BO} = \vec{0}$

$$\begin{cases} a + c \cos \vartheta - x \cos \alpha = 0 \\ c \sin \vartheta - x \sin \alpha - b = 0 \end{cases}$$

$$\begin{cases} \beta_{tr}(\theta) = - \frac{x(\theta) - x(0)}{r} \\ x(\theta) = \sqrt{a^2 + b^2 + c^2 + 2c \left(a \cos\left(\frac{\pi\theta}{180}\right) - b \sin\left(\frac{\pi\theta}{180}\right) \right)} \end{cases}$$

\rightarrow NON LINÉAIRE.



$\rightarrow \beta_{tr}(\theta) = 0,312 \theta - 3,10$
linéaire

convenable uniquement pour $30^\circ \leq \theta \leq 90^\circ$